

I-20 弾性床上の剛節構造の一解法

信州大学工学部 正員 長間孝志

要旨 基礎組杭、地下ラーメンなどの地中構造物ならびに格子状に組まれた連続基礎などいわゆる弾性床上の構造物の中には、本来弾性床上の不静定構造として解くべきであると考えらるべきものがある。本報告はこのような構造物に対するため角法による解法を得ることを目的としたものである。

1) 曲げに対する基本式

図1 図の部材ABに対する曲げの端モーメント式は

$$M_{ab} = R_{ab} \left[\left(\frac{\cosh^2 \vartheta l - \cos^2 \vartheta l}{\sinh^2 \vartheta l - \sin^2 \vartheta l} \right) (\vartheta l)^2 \eta_a - \left(\frac{2 \sinh \vartheta l \sin \vartheta l}{\sinh^2 \vartheta l - \sin^2 \vartheta l} \right) (\vartheta l)^2 \eta_b \right. \\ \left. + \left(\frac{\cosh \vartheta l \sinh \vartheta l - \cos \vartheta l \sin \vartheta l}{\sinh^2 \vartheta l - \sin^2 \vartheta l} \right) \vartheta l \cdot \varphi_a + \left(\frac{\cosh \vartheta l \sin \vartheta l - \sinh \vartheta l \cos \vartheta l}{\sinh^2 \vartheta l - \sin^2 \vartheta l} \right) \vartheta l \cdot \varphi_b \right] + C_{ab},$$

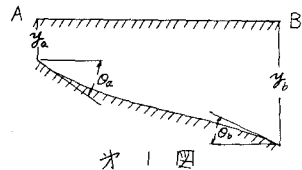


図1 図

$$M_{ba} = R_{ab} \left[\left(\frac{2 \sinh \vartheta l \sin \vartheta l}{\sinh^2 \vartheta l - \sin^2 \vartheta l} \right) (\vartheta l)^2 \eta_a - \left(\frac{\cosh^2 \vartheta l - \cos^2 \vartheta l}{\sinh^2 \vartheta l - \sin^2 \vartheta l} \right) (\vartheta l)^2 \eta_b \right. \\ \left. + \left(\frac{\cosh \vartheta l \sin \vartheta l - \sinh \vartheta l \cos \vartheta l}{\sinh^2 \vartheta l - \sin^2 \vartheta l} \right) \vartheta l \cdot \varphi_a + \left(\frac{\cosh \vartheta l \sinh \vartheta l - \cos \vartheta l \sin \vartheta l}{\sinh^2 \vartheta l - \sin^2 \vartheta l} \right) \vartheta l \cdot \varphi_b \right] + C_{ba}.$$

ここで $R = K/K_0$, $K = I/l$, $\eta = 2EK_0 y/l$, $\varphi = 2EK_0 \theta$, $\vartheta = \sqrt{\mu/4EI}$, $\mu = \mu_{ab}$, $\mu_0 =$ 地盤係数。

2) 振りに対する基本式

$$M_{ab} = 2\beta R_{ab} \left(\frac{\cosh \lambda l}{\sinh \lambda l} \lambda l \cdot \varphi_a - \frac{\lambda l}{\sinh \lambda l} \varphi_b \right) + C_{ab},$$

$$M_{ba} = 2\beta R_{ab} \left(\frac{\cosh \lambda l}{\sinh \lambda l} \lambda l \cdot \varphi_b - \frac{\lambda l}{\sinh \lambda l} \varphi_a \right) + C_{ba}.$$

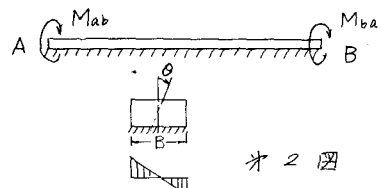


図2 図

ここで $\beta = m/(m+1)$, $m =$ ボアン数, $R = K/K_0$, $K = J/l$, $\lambda = \sqrt{\mu_0 B^3 / 12 G J}$.

3) 端せん力に対する基本式

$$X_{ab} = -\frac{R_{ab}}{l} \left[2 \left(\frac{\cosh \vartheta l \sinh \vartheta l + \cos \vartheta l \sin \vartheta l}{\sinh^2 \vartheta l - \sin^2 \vartheta l} \right) (\vartheta l)^3 \eta_a - 2 \left(\frac{\cosh \vartheta l \sin \vartheta l + \cos \vartheta l \sinh \vartheta l}{\sinh^2 \vartheta l - \sin^2 \vartheta l} \right) (\vartheta l)^3 \eta_b \right. \\ \left. + \left(\frac{\cosh^2 \vartheta l - \cos^2 \vartheta l}{\sinh^2 \vartheta l - \sin^2 \vartheta l} \right) (\vartheta l)^2 \cdot \varphi_a + \left(\frac{2 \sinh \vartheta l \sin \vartheta l}{\sinh^2 \vartheta l - \sin^2 \vartheta l} \right) (\vartheta l)^2 \varphi_b \right] + X_{aab},$$

$$X_{ba} = -\frac{R_{ab}}{l} \left[2 \left(\frac{\cosh \vartheta l \sin \vartheta l + \cos \vartheta l \sinh \vartheta l}{\sinh^2 \vartheta l - \sin^2 \vartheta l} \right) (\vartheta l)^3 \eta_a - 2 \left(\frac{\cosh \vartheta l \sinh \vartheta l + \cos \vartheta l \sin \vartheta l}{\sinh^2 \vartheta l - \sin^2 \vartheta l} \right) (\vartheta l)^3 \eta_b \right. \\ \left. + \left(\frac{2 \sinh \vartheta l \sin \vartheta l}{\sinh^2 \vartheta l - \sin^2 \vartheta l} \right) (\vartheta l)^2 \varphi_a + \left(\frac{\cosh^2 \vartheta l - \cos^2 \vartheta l}{\sinh^2 \vartheta l - \sin^2 \vartheta l} \right) (\vartheta l)^2 \varphi_b \right] + X_{oba}$$

4) 解法

以上の基本式をもとに各節点にて $\Sigma M=0$, $\Sigma X=0$ を適用するによつて解を得る。なお、特別な場合として $M_0 \rightarrow 0$ とおくと、前述の曲げ、振り、端センカの基本式はいつも通常の三次元たわみ角式に一致する。

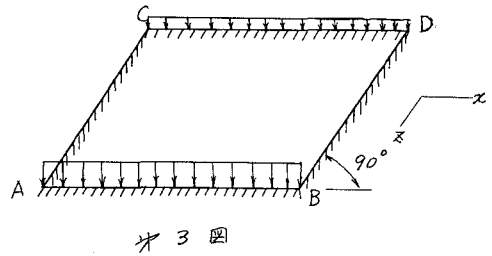
5) 例解

オ3図は各部材とも巾 20cm , 高さ 30cm , 長さ 3m の格子状連続基礎が $M_0 = 4\text{kN/cm}^2/\text{cm}$ の地盤上にあり、AB部材に g , CD部材に $g/2$ の等分布荷重をうけている場合である。いま $m=6$, $E=2 \times 10^5 \text{kg/cm}^2$ として計算すると次の結果を得る。

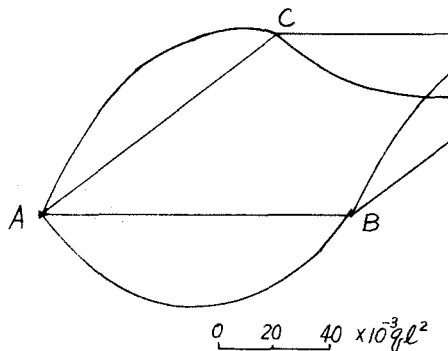
$$\gamma_a = \gamma_b = 14.40 \times 10^{-3} g l^2, \quad \gamma_c = \gamma_d = 5.33 \times 10^{-3} g l^2, \quad \varphi_{xa} = \varphi_{xb} = -27.04 \times 10^{-3} g l^2,$$

$$\varphi_{xc} = \varphi_{xd} = 7.21 \times 10^{-3} g l^2, \quad \varphi_{xa} = \varphi_{xd} = 22.27 \times 10^{-3} g l^2, \quad \varphi_{xc} = -\varphi_{xd} = 15.78 \times 10^{-3} g l^2.$$

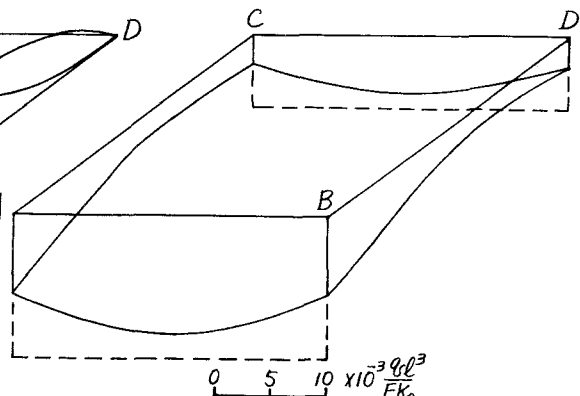
この値を用いて曲げモーメント図、たわみ曲線を計算するとオ4図、オ5図を得る。



オ3図



オ4図 曲げモーメント図



オ5図 たわみ曲線

オ5図の実線はAB, CD部材をそれぞれ単一材と考えた場合のたわみ曲線である。振りモーメントは曲げモーメントに比し小さい値となったので図示を省略した。

終始仰指導をいただいた信州大学工学部吉田俊弥教授、計算に脚協力いただいた伊藤友太郎氏(國鉄)、松沢孝男氏(國鉄)に謹んで謝意を表します。